

**پاسخ الکتریکی تیر پیزوالکتریک با استفاده از روش سختی دینامیکی\***

مقاله علمی - پژوهشی

مجید جباری<sup>(۱)</sup>بیژن احمدی<sup>(۲)</sup>

**چکیده** کاهش توان مصرفی وسایل الکترونیکی و نیاز به استفاده از منابع انرژی قابل حمل موجب شده توجه پژوهشگران به برداشت انرژی از ارتعاشات محیط جلب شود. از این رو پیش‌بینی خروجی الکتریکی تیرهای پیزوالکتریک و مدل‌سازی آنها اهمیت ویژه‌ای پیدا کرده است. در راستای این تلاش‌ها، در این پژوهش روش سختی دینامیکی برای تیر یکسر درگیر با مقطع یکنواخت به همراه جرم متمرکز توسعه داده می‌شود و نتایج آن با نتایج حاصل از روش آنالیز مودال تحلیلی مقایسه می‌گردد که حل آنالیز مودال با پنج مود بسیار به حل به روش سختی دینامیکی نزدیک است. همچنین ماتریس سختی دینامیکی برای تیر دویخشی توسعه داده می‌شود و به وسیله ماتریس به دست آمده تأثیر محل قرارگیری جرم متمرکز بر خروجی الکتریکی و رفتار سیستم بررسی می‌گردد. بر این اساس جابجایی جرم متمرکز از پایه به سمت نوک تیر موجب کاهش فرکانس طبیعی اول می‌شود، در صورتی که تأثیر این جابجایی بر فرکانس طبیعی دوم به صورت تناوبی است.

**واژه‌های کلیدی** سختی دینامیکی، تیر پیزوالکتریک، برداشت انرژی، ارتعاشات.

**The Electric Response of Piezoelectric Beam Using Dynamic Stiffness Method**

M. Jabbari

B. Ahmadi

**Abstract** The reduction of electronic devices' input power and the requirement to portable energy sources have attracted many researchers. Hence, the estimation of electrical output and modeling of piezoelectric beams have become so important. Along this efforts, dynamic stiffness method for a uniform cantilever beam with a tip mass is developed in this research and the result of this method is compared with result of analytical modal analysis method that the differences between dynamic stiffness method and analytical modal analysis method with five mode is very small. Also the dynamic stiffness matrix is developed for a two segmented beam with a tip mass. The effects of the tip mass relocating on electrical outputs and system is explored that the relocating of the tip mass from the base to the tip causes the reduction in first natural frequency of system, although the effects of this relocating on second natural frequency is alternative. Moreover, a place is proposed for the tip mass to harvest the maximum energy.

**Keywords** Dynamic Stiffness; Piezoelectric Beam; Energy Harvesting; Vibrations

DOI: 10.22067/fum-mech.v3i2.84089

\* تاریخ دریافت مقاله ۹۸/۸/۱۴ و تاریخ پذیرش آن می‌باشد.

(۱) استادیار، گروه مکانیک، مرکز تحقیقات سنگ، واحد خمینی شهر، دانشگاه آزاد اسلامی، خمینی شهر، اصفهان.

Email: jabbari@iaukhsh.ac.ir

(۲) کارشناسی ارشد، گروه مکانیک، واحد خمینی شهر، دانشگاه آزاد اسلامی، خمینی شهر، اصفهان.

## مقدمه

فرآیند به دست آوردن انرژی از محیط اطراف و تبدیل آن به انرژی الکتریکی قابل استفاده را برداشت انرژی می‌گویند. با پیشرفت‌های اخیر تکنولوژی در زندگی روزمره، تقاضا برای وسایل الکترونیکی قابل حمل و کم‌مصرف رو به افزایش است. در میان مکانیزم‌های مختلفی که برای تبدیل انرژی مکانیکی به الکتریسیته وجود دارد از قبیل الکترومغناطیس، پیزوالکتریک و الکترواستاتیک - مکانیزم پیزوالکتریک به دلیل راحتی استفاده از آن، دارا بودن خاصیت ذاتی اتصال الکترومکانیکی و همچنین چگالی توان بالا، بیشترین توجه را به خود اختصاص داده و مقالات مروری زیادی در این مورد ارائه شده است [1,2]. از دو دیدگاه می‌توان منابع برداشت انرژی را دسته‌بندی کرد، دیدگاه اول در نظر گرفتن عامل تأمین این انرژی که می‌تواند انسانی و محیطی باشد و دیدگاه دوم نوع انرژی مانند جنبشی و گرمایی است که به الکتریسیته تبدیل می‌شود. فن‌بورن [3] منابع مورد نظر را به سه نوع تابشی، گرمایی و مکانیکی دسته‌بندی می‌نماید. البته اخیراً منابع زیست‌شیمیایی شامل گلوکز و واکنش‌های سوخت‌سازی نیز به این فهرست افزوده شده‌اند [4]. حوزه الکتریکی شامل پارامترهای متمرکز نظیر مقاومت و خازن است، از این رو تنها نیاز، به دست آوردن پارامترهای متمرکز بیان‌کننده حوزه مکانیکی است. به این دلیل مدل‌سازی یک درجه آزادی یک رویکرد راحت برای مدل‌سازی محسوب می‌شود که طی آن تعادل مکانیکی و معادلات حلقوی الکتریکی از طریق معادلات ساختاری به هم مرتبط می‌شوند. راندی و همکاران [5] از مدل یک درجه آزادی که بر مبنای پارامترهای متمرکز بود در بررسی مکانیزم‌های تبدیل انرژی برای سیستم‌های الکترومکانیکی میکرو بهره بردند. آنها یک بازبینی گسترده را در مورد تکنولوژی‌های برداشت انرژی و منابع انرژی رایج انجام دادند که طی شبیه‌سازی‌های انجام شده، چگالی توان بالقوه بالاتر پیزوالکتریک‌ها نشان داده شد.

مشکل مدل‌سازی یک درجه آزادی این است که تخمین به‌وسیله آن به‌صورت تک مود صورت می‌گیرد. علاوه بر این جنبه‌های مهم فیزیکی سیستم مانند شکل مودهای دینامیکی، توزیع دقیق کرنش و تأثیر آن بر پاسخ الکتریکی در این روش در نظر گرفته نمی‌شود. ارتگر و اینمن [6] مدل یک درجه آزادی که به‌صورت هارمونیک تحریک می‌شد را بررسی کردند. آنها نشان دادند که رابطه تحریک پایه هارمونیک مرسوم برای پیش‌بینی حرکت تیر، خطاهای بزرگی را حاصل می‌کند و خطاهای مدل را نشان دادند. سپس فاکتورهای اصلاح‌کننده را برای بهبود مدل یک درجه آزادی با تحریک پایه هارمونیک در ارتعاش عرضی و طولی ارائه کردند. ایشان مشخص کردند که مدل یک درجه آزادی را می‌توان برای نسبت‌های بالای جرم متمرکز به جرم تیر در ارتعاش عرضی استفاده کرد. در واقع جرم مؤثر تیرهای یکسردرگیر و میله‌ها در حالتی که جرم متمرکز کوچک است نتیجه‌ای ناچیز را در قیاس با پاسخ سیستم حاصل می‌کند؛ بنابراین باید از مدل اصلاح‌شده یک درجه آزادی پیشنهادی استفاده کرد.

رتاتزی و همکاران [7] پژوهشی را برای ارتعاش دو تیر اویلر برنولی داخل صفحه عمود بر هم که با لولای الاستیک به هم متصل شده بودند، ارائه کردند. آنها یکی از مرزها را گیردار فرض کردند و این آنالیز را برای انواع شرایط مرزی در طرف دیگر به انجام رسانیدند. معادلات حاکم بر حرکت سازه در خمش آزاد با اصل همپلتون به دست آمد و فرکانس‌های طبیعی با روش اصل تغییرات و جداسازی متغیرها حاصل شد. در پژوهش ایشان توجه عمده به انعطاف‌پذیری و مکان لولا معطوف بود که در نهایت نتایج به خروجی به دست آمده از روش اجزای محدود بسیار نزدیک بود.

سو و بانرجی [8] ارتعاش آزاد تیرهای تیموشنکو با مواد مدرج تابعی را با توسعه روش سختی دینامیکی مورد بررسی قرار دادند. در این پژوهش فرض شده بود که ویژگی‌های ماده تیر به‌طور پیوسته در راستای ضخامت تغییر می‌کند. آنها معادلات دیفرانسیل حاکم بر حرکت را

تيرهای اويلر برنولی با مرزهای تعميم یافته به کار برده می شوند.

در اين پژوهش تمرکز بر مدل سازی و تحليل يکی از رایج ترین وسایل برداشت انرژی مکانیکی یعنی تير یکسر درگیر پيزوالکتریک است. تير یادشده به صورت دو شکلی و با مقطع یکنواخت بوده و تحليل آن به روش سختی دينامیکی صورت می گیرد. همچنین به کمک اين روش پیشینه ولتاژ خروجی با پیدا کردن بهترین مکان برای جرم متمرکز حاصل می گردد.

### تئوری روش سختی دينامیکی

روش سختی دينامیکی، یک روش قدرتمند برای استخراج تابع پاسخ فرکانسی یک المان ساختاری با مقطع یکنواخت و ترکیب چنین المان هایی است. ماتریس سختی دينامیکی یک المان بر مبنای حل دقیق معادله موج است، به همین دلیل نیاز به المان های کمتری نسبت به روش اجزای محدود برای تحليل تيرهای یکنواخت دارد که این امر موجب حل دقیق تر برای فرکانس های تحریک بالا می شود. همچنین ماتریس سختی دينامیکی یک تير، برای مدل سازی تيرهایی با شرایط مرزی مختلف و ترکیب تيرهایی با مقطع یکنواخت قابل استفاده است که این مزیت بزرگ این روش نسبت به روش آنالیز مودال است.

روش های سختی دينامیکی و آنالیز مودال برای شکل (۱) به کار می رود. پیکربندی یکسردرگیر دوشکلی به عنوان تير یکنواخت مدل سازی شده است. از آنجایی که پيزوالکتریک های برداشت کننده انرژی یکسر درگیر رایج غالباً به صورت تيرهای نازک طراحی و تولید می شوند و همچنین اکثر تيرهای دوشکلی سازه هایی نازک هستند، اويلر برنولی فرض نمودن تير منطقی به نظر می رسد. لایه های پيزوالکتریک و زمینه به خوبی به هم مقید شده اند و الکترودهایی که در کل طول تير امتداد یافته اند انعطاف پذیر بوده و در قیاس با ضخامت کل تير، دارای ضخامت قابل صرف نظر می باشند. علاوه بر این، الکترودها به خوبی رسانا فرض شده اند. بدین ترتیب تنها

حل نموده و عبارات نیروی محوری، نیروی برشی و ممان خمشی را استخراج نمودند و در نهایت از الگوریتم ویتربیک-ویلیامز به عنوان یک حل برای استخراج فرکانس های طبیعی و شکل مودها استفاده نمودند. جباری و همکاران [9,10] به بررسی برداشت انرژی از تير پيزوالکتریک چندلایه ای در حالات تشدید و غیر تشدید پرداختند. در مدل به کاررفته در تحقیق آنها از بار مقاومتی استفاده گردید و بیشترین توان برای حالت بار مقاومتی بهینه حاصل گردید. در تحقیقی دیگر از آنها به بررسی رفتار دينامیکی تير پيزوالکتریک پرداخته شد. نتایج به دست آمده با دو روش اجزا محدود و تجربی حاصل گردید. در مدل به کاررفته از شرایط مدار باز استفاده شد. جباری [11] روش های تئوری و تجربی تأثیر گره های کرنشی در برداشت انرژی از تير یکسردرگیر پيزوالکتریک در حالات فرکانس تحریک تشدید و غیر تشدید را مورد بررسی قرار داد.

چن و همکارانش [12] مدل تحلیلی یک تير بیمورف با استفاده از اصل هامیلتون را مورد مطالعه قرار دادند و خصوصیات استاتیکی مدل را به دست آوردند. معادلات حاکم با استفاده از یک روش عددی حاصل شده و ویژگی ها و خصوصیات مدل، تحليل و آنالیز شدند. در این تحقیق، نتایج شبیه سازی با نتایج آزمایش برای تأیید صحت آنها مقایسه شده اند. نتایج نشان می دهد که افزایش نیروی محوری تأثیر قابل توجهی در دامنه پاسخ پایدار جابجایی دارد و باعث کاهش فرکانس رزونانس می شود. سختی دينامیکی محور اغلب با چندین شرایط مرزی کلاسیک مانند تکیه گاه ساده، ثابت و آزاد مورد بحث قرار می گیرند. در تحقیقی که دینگ و همکارانش [13] ارائه کردند سختی دينامیکی تير در حال حرکت محوری با شرایط مرزی تعمیم یافته بحث شده است. سختی در حالات پیچشی و عمودی تقویت می شود. با اصلاح سختی شرایط مرزی تعمیم یافته می توانند جایگزین شرایط مرزی کلاسیک شوند. ماتریسهای سختی دينامیکی برای حرکت محوری تيرهای تیموشنکو و

$$q = - \int_0^L y Y_p d_{31} \frac{b \partial^2 u}{\partial x^2} dx + \int_0^L b \epsilon_{33}^S E_3 dx \quad (3)$$

به این علت که الکترودها کاملاً رسانا هستند و پتانسیل الکتریکی در سرتاسر الکترودها یکسان است، مقدار بار انباشته شده در مقطع میانی لایه بالایی مطابق رابطه (۴) حاصل می‌شود. بدین ترتیب با گرفتن مشتق از معادله بر حسب زمان، شدت جریان عبوری از مقاومت خارجی مطابق رابطه (۵) برای یک لایه پیزوالکتریک خواهد بود.

$$q = -h_{pc} Y_p d_{31} \int_0^L b \frac{\partial^2 u}{\partial x^2} dx - \frac{\epsilon_{33}^S v(t)}{h_p} \int_0^L b dx \quad (4)$$

$$i(t) = -h_{pc} Y_p d_{31} \int_0^L b \frac{\partial^3 u}{\partial x^2 \partial t} dx - \frac{\epsilon_{33}^S \dot{v}(t)}{h_p} \int_0^L b dx \quad (5)$$

رابطه نهایی شدت جریان  $i$  به عنوان تابعی از زمان به صورت معادله (۶) به دست می‌آید که  $\beta$ ،  $C_p$  و  $f$  در رابطه (۴) ارائه شده‌اند.  $C_p$  در معادله (۶)، ظرفیت داخلی یک لایه پیزوالکتریک و  $h_{pc}$  در معادله (۷) فاصله محور خنثی تا مقطع میانی لایه پیزوالکتریک است.

$$i(t) = f \beta \int_0^L \frac{\partial^3 u}{\partial x^2 \partial t} dx - \frac{f}{a} C_p \dot{v} \quad (6)$$

$$\beta = -d_{31} Y_p h_{pc} b \quad (7)$$

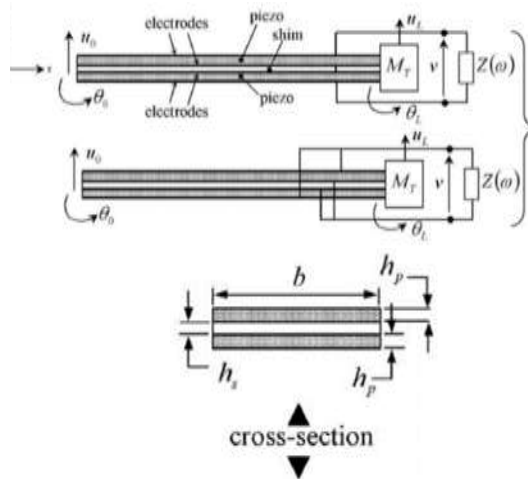
$$C_p = \epsilon_{33}^S \frac{bL}{h_p}$$

$$f = \begin{cases} 1, & \text{for series} \\ 2, & \text{for parallel} \end{cases}$$

برای تحلیل به روش سختی دینامیکی، تحریک هارمونیک فرض می‌شود. بدین ترتیب جابه‌جایی به صورت معادله (۸) به دست می‌آید که با استفاده از

یک اختلاف پتانسیل الکتریکی در طول هر الکتروده قابل تعریف است. مقاومت نشی لایه‌های پیزوالکتریک نادیده گرفته شده است در حالی که این مقدار غالباً مقداری بزرگ است و می‌توان آن را به عنوان مقاومتی موازی با بار مقاومتی در نظر گرفت.

برای استخراج رفتار تیر متحرک با لایه‌های پیزوالکتریک روابط (۱) و (۲) به کار می‌روند [۱۴]. در رابطه (۱)،  $D_i$  مؤلفه‌های بردار جابجایی الکتریکی،  $n$  مؤلفه‌های بردار میدان الکتریکی القا شده،  $d_{im}$  مؤلفه‌های ماتریس ضریب پیزوالکتریسیته،  $\epsilon_{in}^T$  مؤلفه‌های ماتریس ثابت دی‌الکتریک یا گذردهی در تنش ثابت و  $T_m$  مؤلفه‌های بردار تنش است. همچنین در رابطه (۲)،  $S_j$  مؤلفه‌های بردار تغییر شکل و  $S_{jm}^E$  هم مؤلفه‌های ماتریس ضرایب الاستیک می‌باشد.



شکل (۱): تیر دوشکلی برداشت کننده انرژی در اتصال سری و موازی

$$D_i = \epsilon_{in}^T E_n + d_{im} T_m \quad (1)$$

$$S_j = d_{jn} E_n + S_{jm}^E T_m \quad (2)$$

برای به دست آوردن ولتاژ خروجی سیستم قانون گاوس برای یک لایه پیزوالکتریک به صورت رابطه (۳) نوشته می‌شود.

D ماتریس سختی دینامیکی تیر با جرم متمرکز به صورت رابطه (۱۶) است.

$$\begin{aligned} f &= Du \\ f &= [\tilde{F}_0 \quad \tilde{I}_0 \quad \tilde{F}_L \quad \tilde{I}_L]^T \\ u &= [\tilde{u}_0 \quad \tilde{\theta}_0 \quad \tilde{u}_L \quad \tilde{\theta}_L]^T \end{aligned} \quad (16)$$

$\tilde{F}_0$  نیروی برشی و  $\tilde{I}_0$  ممان خمشی در تکیه‌گاه گیردار و  $\tilde{F}_L$  نیروی برشی و  $\tilde{I}_L$  ممان خمشی در سر تیر با وجود جرم متمرکز می‌باشند. ماتریس سختی دینامیکی تیر به صورت معادله (۱۷) است که در این معادله به‌عنوان ماتریس سختی دینامیکی تیر شناخته می‌شود.

$$\begin{aligned} D_e &= \begin{bmatrix} S_1 & S_2 & S_3 & S_4 \\ S_2 & S_5 & -S_4 & S_6 \\ S_3 & -S_4 & S_1 & -S_2 \\ S_4 & S_6 & -S_2 & S_5 \end{bmatrix} + \\ \vartheta G &= \begin{bmatrix} 0 & 0 & 0 & 0 \\ 0 & 1 & 0 & -1 \\ 0 & 0 & 0 & 0 \\ 0 & -1 & 0 & 1 \end{bmatrix} \\ S_1 &= \frac{\hat{B}k^3(\cos kL \cdot \sinh kL + \cosh kL \cdot \sin kL)}{\Delta} \\ S_2 &= \frac{\hat{B}k^2(\sin kL \cdot \sinh kL)}{\Delta} \\ S_3 &= -\frac{\hat{B}k^3(\sin kL + \sinh kL)}{\Delta} \\ S_4 &= \frac{\hat{B}k^2(\cosh kL - \cos kL)}{\Delta} \\ S_5 &= \hat{B}k \frac{(\cosh kL \cdot \sin kL - \cos kL \cdot \sinh kL)}{\Delta} \\ \Delta &= 1 - \cosh kL \cdot \cos kL \\ \vartheta &= -d_{31} Y_p b \left( \frac{h_p + h_s}{a} \right) \end{aligned} \quad (17)$$

در رابطه (۱۷) مقدار  $a$  برابر با ۲ و ۱ به ترتیب برای حالت سری و موازی است. با استفاده از روابط تعادل و با وجود جرم متمرکز ماتریس سختی دینامیکی با رابطه (۱۸) ارائه می‌گردد.

معادله حرکت تیر معادله (۹) حاصل می‌شود.  $\hat{B}$  و  $k$  طبق روابط (۱۰) و (۱۱) به دست می‌آیند.

$$u(x, t) = \tilde{u}(x)e^{j\omega t} \quad (8)$$

$$\tilde{u}^{iv} - k\tilde{u} = 0 \quad (9)$$

$$k = \omega^{\frac{1}{2}} \left[ \frac{m}{\hat{B} / \left( 1 - j \frac{c_a}{m\omega} \right)} \right]^{\frac{1}{4}} \quad (10)$$

$$\hat{B} = B \left( 1 + j\omega \frac{A}{B} \right) \quad (11)$$

$$B = Y_p I_p + Y_s I_s$$

$$A = c_p I_p + c_s I_s$$

$c_a$  ضریب میرایی لزج میانگین محیط بر واحد طول،  $c_p$  ضریب میرایی کلومین ویت لایه پیزوالکتریک،  $c_s$  ضریب میرایی کلومین ویت لایه میانی،  $Y_p$  مدول الاستیسیته ماده پیزوالکتریک،  $Y_s$  مدول الاستیسیته لایه میانی،  $I_p$  و  $I_s$  به ترتیب گشتاور دوم سطح حول محور خنثی برای هر دو لایه پیزوالکتریک و لایه میانی می‌باشند. ضریب میرایی با استفاده از روش میرایی ریلی با رابطه (۱۲) حاصل می‌شود [۱۰].  $\zeta_r$  نسبت میرایی و  $m$  جرم تیر هستند.

$$\zeta_r = \frac{A\omega_r}{2B} + \frac{c_a}{2m\omega_r} \quad (12)$$

اگر  $Z$  نماینده مقاومت ظاهری بار الکتریکی باشد رابطه (۱۳) را می‌توان نوشت. با جایگذاری رابطه (۱۱) در (۳)، دامنه ولتاژ به صورت معادله (۱۴) به دست می‌آید که در آن  $G$  از رابطه (۱۵) حاصل می‌شود.

$$\tilde{v} = Zi \quad (13)$$

$$\tilde{v} = G[\tilde{\theta}(L) - \tilde{\theta}(0)] \quad (14)$$

$$G = \frac{j\omega f \beta}{j\omega \left( \frac{f}{a} \right) C_p + \frac{1}{Z}} \quad (15)$$

آنالیز مودال از یک تا پنج مود برای حل استفاده شده است.

شکل (۲) نمودار حاصل از تحلیل به روش سختی دینامیکی را در مقابل روش آنالیز مودال با یک مود نشان می‌دهد. همان‌طور که مشخص است به این دلیل که آنالیز مودال با یک مود حل شده، تقریب خوبی از تابع پاسخ فرکانسی (FRF) حداکثر ولتاژ خروجی بر حسب شتاب پایه در محدوده فرکانس اول حاصل می‌کند که با روش سختی دینامیکی، 1.4 درصد اختلاف دارد. طبق جدول (۲) فرکانس تشدید در روش سختی دینامیکی 73.77Hz است، اما در روش آنالیز مودال این مقدار 73.98Hz است. همچنین نمودار روش آنالیز مودال پس از فرکانس تحریک 150Hz از نمودار روش سختی دینامیکی فاصله می‌گیرد. در حالتی که آنالیز مودال با دو مود محاسبه گردد طبق شکل (۳) در اطراف قله دوم تقریب خوبی از ولتاژ خروجی بر حسب شتاب پایه به دست می‌آید که 2.26 درصد با روش سختی دینامیکی اختلاف دارد. به همین ترتیب با حل به روش آنالیز مودال با تعداد مودهای بیشتر، اختلاف نمودارهای حاصل از روش سختی دینامیکی و روش آنالیز مودال کاهش می‌یابد به طوری که با توجه به شکل (۴) نمودارهای این دو روش از هم قابل تشخیص نمی‌باشند.

$$D = D_e + \begin{bmatrix} 0 & 0 \\ 0 & D_m \end{bmatrix}$$

$$D_m = \begin{bmatrix} -\omega^2 M_T + j\omega c_a \frac{M_T}{m} & 0 \\ 0 & -\omega^2 I_T \end{bmatrix}$$

$$R = D^{-1} \quad (18)$$

$M_T$  نماینده جرم متمرکز و  $I_T$  نشان‌دهنده ممان اینرسی جرم متمرکز است. بر اساس روابط جفت‌شدگی و معادلات حرکت، پاسخ ولتاژ و جابجایی با روابط (۱۹) و (۲۰) حاصل می‌شود.

$$\tilde{v}$$

$$= G \left[ \frac{R_{41}R_{22} - R_{42}R_{21}}{\alpha} \right] \tilde{u}_0$$

$$+ G \left[ \frac{R_{42}R_{11} - R_{41}R_{12} - \alpha}{\alpha} \right] \tilde{\theta}_0$$

$$\tilde{\theta}_0 = R_{12}\tilde{F}_0 + R_{22}\tilde{I}_0$$

$$\tilde{u}_0 = R_{11}\tilde{F}_0 + R_{12}\tilde{I}_0$$

$$\alpha = R_{11}R_{22} - R_{12}R_{21} \quad (19)$$

$$\tilde{u}_L$$

$$= \left( \frac{R_{31}R_{22} - R_{32}R_{21}}{\alpha} \right) \tilde{u}_0$$

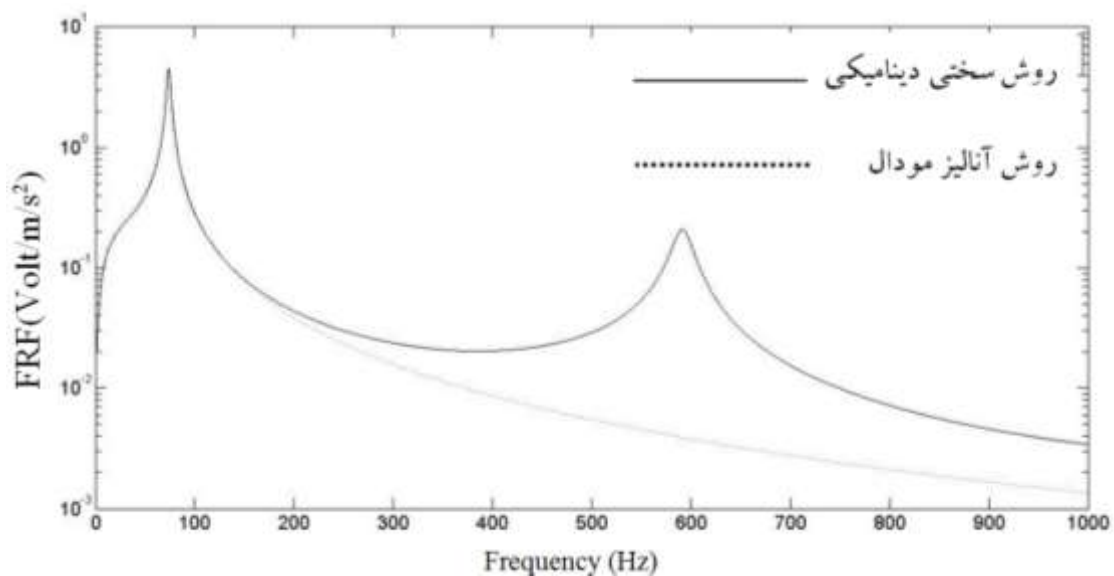
$$+ \left( \frac{R_{32}R_{11} - R_{31}R_{12}}{\alpha} \right) \tilde{\theta}_0 \quad (20)$$

### نتایج

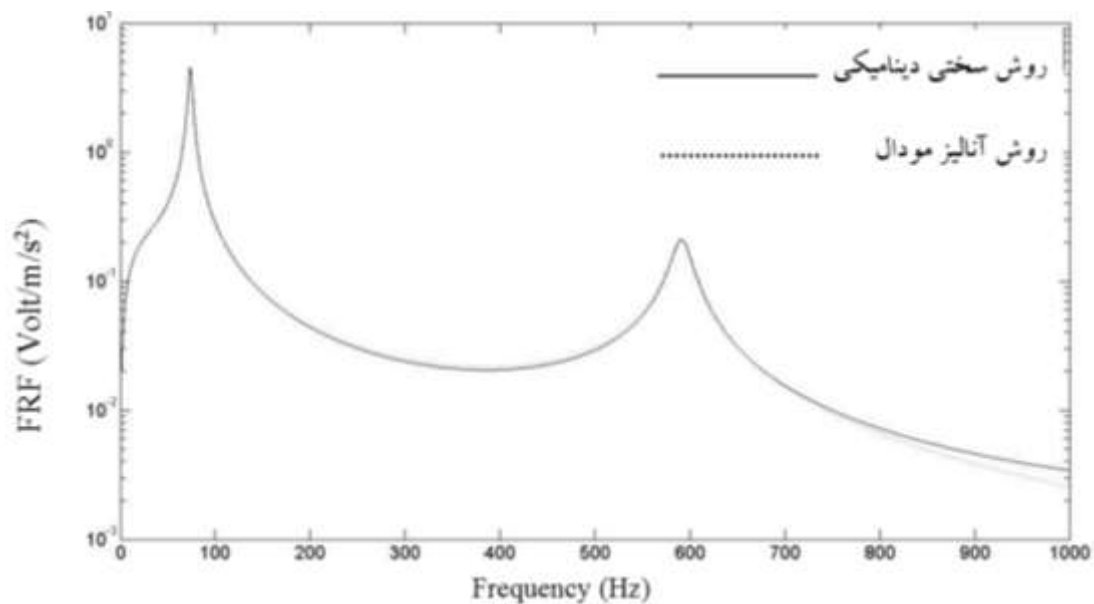
برای بررسی اعتبار روش سختی دینامیکی، سیستم با مشخصات آورده شده در جدول (۱) تحلیل می‌شود. همچنین نسبت‌های میرایی برای دو مود اول به ترتیب  $\zeta_1 = 0.0166$  و  $\zeta_2 = 0.0107$  و مقدار جرم متمرکز  $M_T = 0.5m_b$  در نظر گرفته شده است [۱۵]. مقادیر  $\zeta_1$  و  $\zeta_2$  برای دو مود ارائه شده است که با کمک رابطه (۹) مقادیر  $c_a$  و  $A$  به دست می‌آید. برای حصول  $\zeta_3$ ،  $\zeta_4$  و  $\zeta_5$  از  $\zeta_1$  و  $\zeta_2$  بهره گرفته می‌شود، هرچند امکان دارد برای مودهای بالاتر  $c_a$  و  $A$  به دست آمده معتبر نباشد. با استفاده از نرم‌افزار متلب، برنامه‌نویسی جهت دریافت پاسخ الکتریکی و مکانیکی برای روش سختی دینامیکی و آنالیز مودال حاصل گردیده است. در روش

جدول (۱): مشخصات تیر پیزوالکتریک نمونه

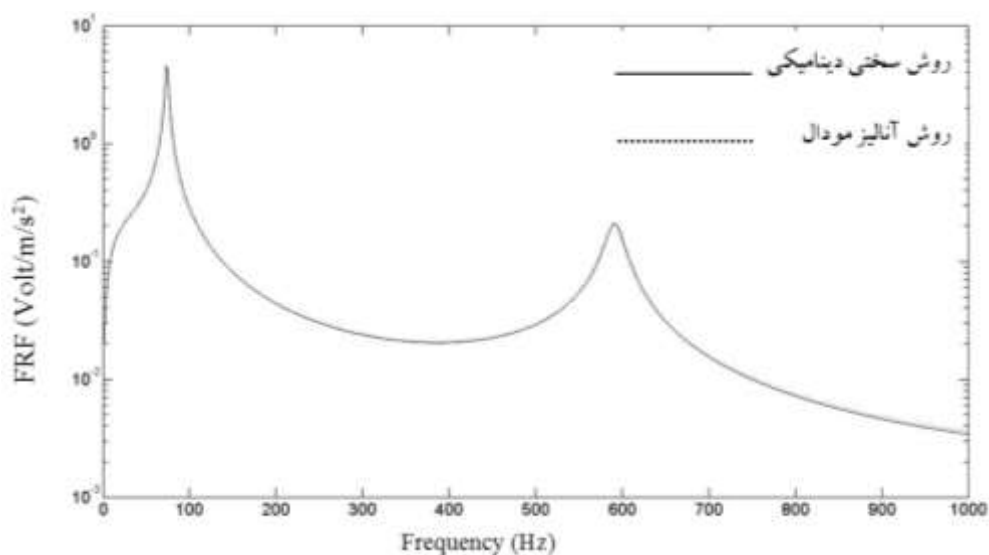
پارامتر	مقدار
$h_p$ (mm)	0.267
$h_s$ (mm)	0.300
$L$ (mm)	60
$b$ (mm)	25
$Y_p$ (GPa)	6200
$Y_s$ (GPa)	7200
چگالی لایه پیزوالکتریک ( $\text{kg/m}^3$ )	7800
چگالی لایه میانی ( $\text{kg/m}^3$ )	2700
$d_{31}$ (m/V)	$-320 \times 10^{-12}$
$\epsilon_{33}^T$ ( $\frac{F}{m}$ )	$3.3646 \times 10^{-8}$



شکل (۲): FRF (Frequency Response Function) نسبت ولتاژ بر شتاب به دو روش سختی دینامیکی و روش آنالیز مودال با تأثیر یک مود فرکانسی



شکل (۳): FRF نسبت ولتاژ بر شتاب به دو روش سختی دینامیکی و روش آنالیز مودال با تأثیر دو مود فرکانسی



شکل (۴): FRF نسبت ولتاژ بر شتاب به دو روش سختی دینامیکی و روش آنالیز مودال با تأثیر سه مود فرکانسی

نتایج حاصل از نمودارهای FRF در روش‌های سختی دینامیکی و آنالیز مودال با مودهای مختلف در جدول (۲ و ۳) ارائه شده است.

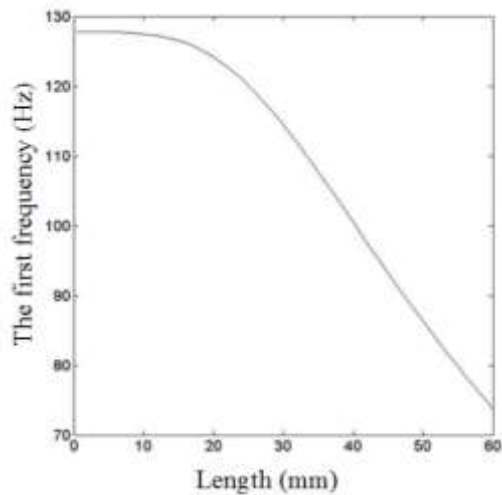
جدول (۳): تفاوت FRF های در روش‌های سختی دینامیکی و آنالیز مودال در فرکانس تشدید دوم

درصد اختلاف	بیشینه دامنه ولتاژ خروجی بر شتاب دینامیکی	درصد اختلاف فرکانس تشدید دوم با روش سختی دینامیکی	فرکانس تشدید دوم	نوع روش
-	0.2081	-	591.3	روش سختی دینامیکی
0.82	0.2098	0.02	591.4	آنالیز مودال با پنج مود
1.06	0.2103	0.02	591.4	آنالیز مودال با چهار مود
0.27	0.2114	0.03	591.5	آنالیز مودال با سه مود
1.58	0.2128	0.03	591.5	آنالیز مودال با دو مود
2.26	-	-	-	آنالیز مودال با یک مود

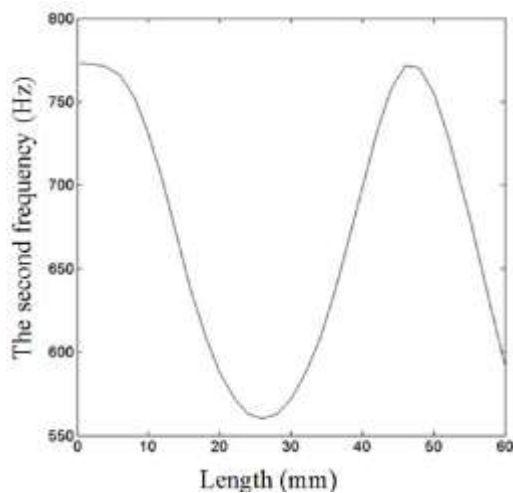
جدول (۲): تفاوت FRF های در روش‌های سختی دینامیکی و آنالیز مودال در فرکانس تشدید اول

درصد اختلاف	بیشینه دامنه ولتاژ خروجی بر شتاب دینامیکی	درصد اختلاف فرکانس تشدید اول با روش سختی دینامیکی	فرکانس تشدید اول	نوع روش
-	4.495	-	73.77	روش سختی دینامیکی
0.13	4.489	0.04	73.80	آنالیز مودال با پنج مود
0.18	4.487	0.07	73.82	آنالیز مودال با چهار مود
0.27	4.483	0.08	73.83	آنالیز مودال با سه مود
0.40	4.477	0.12	73.8	آنالیز مودال با دو مود
1.40	4.432	0.28	73.98	آنالیز مودال با یک مود





شکل (۵): تغییرات فرکانس طبیعی اول را بر حسب فاصله جرم متمرکز از پایه



شکل (۶): تغییرات فرکانس طبیعی دوم را بر حسب فاصله جرم متمرکز از پایه

فارغ از مقدار فرکانس تشدید در تعیین مکان جرم متمرکز، میزان حداکثر توان برداشت شده، پارامتری تعیین کننده در جابه جایی جرم متمرکز است. از این رو برای دو مود اول، حداکثر نسبت ولتاژ خروجی بر شتاب پایه بر حسب فاصله جرم متمرکز تا پایه در شکل (۷) نشان داده شده است. با توجه به شکل مشخص می شود که حداکثر نسبت ولتاژ بر شتاب پایه در اطراف فرکانس

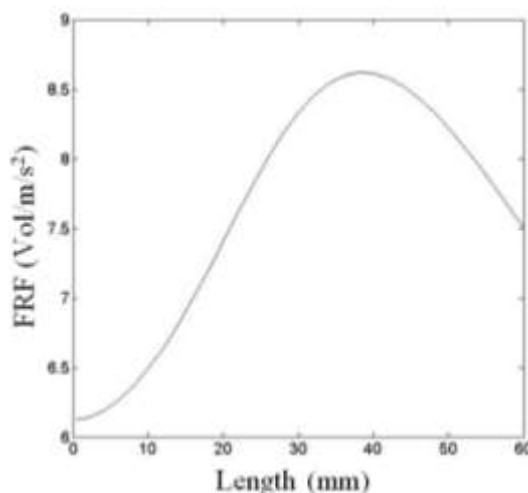
برای یافتن تأثیر جابه جایی جرم متمرکز کدهای نوشته شده در نرم افزار متلب، برای فاصله مرکز جرم تا پایه تیر اجرا می شود. به این علت که جابه جایی جرم متمرکز بر فرکانس های طبیعی تأثیر می گذارد و این تأثیر بر مقادیر ضرایب میرایی اثرگذار است. در این حالت تحلیل در حالت نامیرا مورد بررسی قرار می گیرد.

شکل (۵) تغییرات فرکانس طبیعی اول را بر حسب فاصله جرم متمرکز از پایه نشان می دهد. مطابق آن هرچه قدر جرم متمرکز از پایه دورتر شود، فرکانس طبیعی اول کاهش می یابد. فرکانس طبیعی اول برای جرم متمرکز در فاصله 0.5mm از پایه تیر 127.8Hz است که به تدریج با افزایش فاصله تا 15mm از پایه، کاهش فرکانس طبیعی اول با شیب بسیار کندی صورت می گیرد. از فاصله میانی تیر تا انتهای تیر کاهش مقدار فرکانس تقریباً به صورت خطی و با شیب تند انجام می شود، به طوری که کاهش آن در این فاصله 35.6 درصد است. در ارتباط با تغییرات فرکانس طبیعی دوم تیر نسبت به فاصله جرم متمرکز از پایه، به مانند فرکانس طبیعی اول، در ابتدا کاهش فرکانس طبیعی با شیب بسیار کند پیش می رود اما با افزایش فاصله جرم از پایه، این روند به تندی صورت می گیرد به طوری که طبق شکل (۶) کمترین فرکانس طبیعی دوم در فاصله 26mm جرم متمرکز از پایه متحرک و مقدار 560.1Hz است. با توجه به شکل (۶) مشخص می شود که فرکانس طبیعی دوم رابطه ای تناوبی با فاصله جرم متمرکز دارد که طی آن در فاصله های 4mm و 46mm جرم از تیر، مقدار فرکانس طبیعی دوم 771.6Hz است. به این دلیل که غالب ارتعاشات قابل برداشت از محیط در حوزه فرکانسی پایین اتفاق می افتند، پایین بودن فرکانس تشدید تیر می تواند کمک شایانی به میزان انرژی برداشت شده داشته باشد. از این رو صرف نظر از میزان انرژی برداشتی، تعبیه جرم متمرکز در انتهای تیر می تواند برای چنین مصرفی مفید واقع شود.

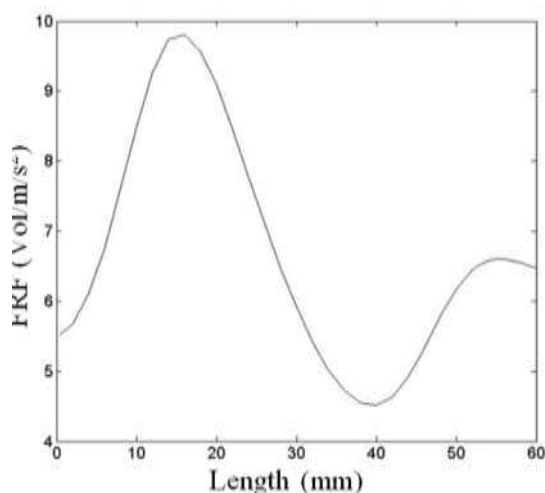
شتاب پایه آن  $7.505 \frac{\text{volt}}{\text{m/s}^2}$  است. از این رو در صورتی که هدف برداشت بیشینه از ناحیه فرکانس تشدید باشد قرارگیری جرم در نوک تیر نمی‌تواند گزینه مطلوبی باشد. ولتاژ خروجی بیشینه بر حسب شتاب پایه برای مود دوم مطابق شکل (۸) است که طی آن حداکثر نسبت ولتاژ خروجی بر شتاب پایه  $9.811 \frac{\text{volt}}{\text{m/s}^2}$  بوده که برای جرم متمرکز با فاصله  $16\text{mm}$  از پایه حاصل می‌گردد. نکته قابل توجه این است که کمترین نسبت ولتاژ بر شتاب پایه مربوط به فاصله  $40\text{mm}$  از پایه تیر بوده که مقدار آن  $4.513 \frac{\text{volt}}{\text{m/s}^2}$  است. این فاصله بسیار به نقطه حداکثر نسبت ولتاژ خروجی بر شتاب پایه نزدیک است، اما نسبت ولتاژ خروجی آن بر حسب پایه حتی از قرارگیری جرم در انتها تیر کمتر است. بدین ترتیب در صورت نیاز به برداشت حداکثر ولتاژ خروجی، فواصل  $16\text{mm}$  یا  $38\text{mm}$  جرم متمرکز از پایه پیشنهاد می‌شود. تحلیل جاری برای حالت نامیرا در نظر گرفته شده است.

تاکنون نمودارهای حداکثر نسبت ولتاژ خروجی بر شتاب پایه با مکان جرم متمرکز رسم شده‌اند؛ اما اگر حداکثر نسبت ولتاژ خروجی بر جابه‌جایی انتقالی پایه نسبت به مکان جرم متمرکز رسم شود طبق شکل‌های (۹) و (۱۰) قله‌های نمودار جابه‌جا خواهد شد. طبق شکل (۹) برای فرکانس‌های تشدید اول حداکثر نسبت ولتاژ خروجی بر جابه‌جایی پایه برای فاصله  $22\text{mm}$  جرم متمرکز از پایه حاصل می‌گردد و مقدار آن  $4.531 \frac{\text{Mvolt}}{\text{m}}$  است. شکل ۱۰ هم برای فرکانس‌های تشدید دوم نماینده حداکثر نسبت ولتاژ خروجی بر جابه‌جایی است که در آن حداکثر نسبت ولتاژ خروجی بر شتاب پایه برای جرم متمرکز با فاصله  $11\text{mm}$  از پایه رخ می‌دهد و مقدار آن  $181.1 \frac{\text{Mvolt}}{\text{m}}$  است. کمترین نسبت ولتاژ خروجی بر جابه‌جایی پایه برای جرم متمرکز با فاصله  $34\text{mm}$  از پایه بوده و مقدار آن  $73.2 \frac{\text{Mvolt}}{\text{m}}$  است.

تشدید اول برای فاصله  $38\text{mm}$  جرم متمرکز تا پایه اتفاق می‌افتد که میزان آن  $8.622 \frac{\text{volt}}{\text{m/s}^2}$  است. همچنین کمترین نسبت ولتاژ خروجی بر شتاب پایه در نزدیک‌ترین نقطه قرارگیری جرم متمرکز نسبت به پایه وجود دارد و مقدار آن  $6.125 \frac{\text{volt}}{\text{m/s}^2}$  است.



شکل (۷): نسبت ولتاژ خروجی بر شتاب پایه در فرکانس تشدید اول بر حسب فاصله جرم متمرکز تا پایه تیر



شکل (۸): نسبت ولتاژ خروجی بر شتاب پایه در فرکانس تشدید دوم بر حسب فاصله جرم متمرکز تا پایه تیر

قرارگیری در نقطه انتهایی هرچند موجب کاهش فرکانس تشدید اول می‌شود اما ولتاژ خروجی بر حسب

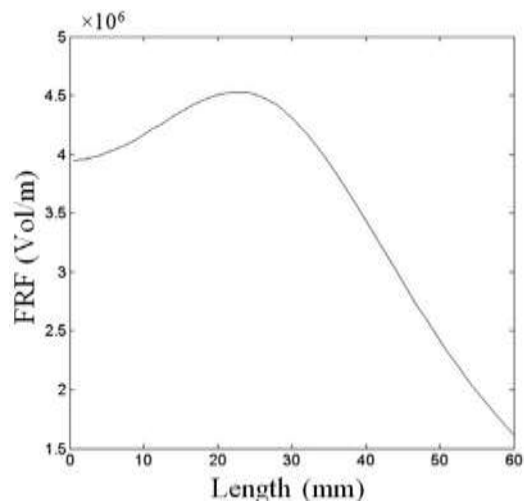
خروجی الکتريکی با استفاده از روش آنالیز مودال برای یک مود تا پنج مود نیز حاصل شد که در اطراف فرکانس تشدید اول نتایج حاصل از روش سختی دينامیکی و آنالیز مودال با یک مود فرکانسی به هم نزدیک بود اما با افزایش فرکانس، این دو نمودار از هم فاصله می گرفتند. استفاده از آنالیز مودال با تعداد مود بیشتر موجب شد که نمودار پاسخ ولتاژ حاصل از دو روش به هم نزدیک شوند.

از اهداف این تحقیق می توان به بررسی اثرات جابه جایی جرم متمرکز بر خروجی الکتريکی و فرکانس های طبیعی سیستم در حالت نامیرا با روش سختی دينامیکی اشاره کرد. طبق نتایج به دست آمده در این پژوهش، سیستم هایی که جرم متمرکزشان نزدیک تر به پایه بود فرکانس طبیعی اول بزرگ تری داشتند و کمترین فرکانس طبیعی اول برای جرم متمرکز در نوک تیر حاصل شد؛ اما تغییرات فرکانس طبیعی دوم با فاصله جرم متمرکز از پایه رابطه تناوبی داشت به طوری که بیشترین مقدار فرکانس طبیعی دوم برای موقعیت جرم در 46mm از پایه و جرم قرار گرفته در پایه به دست آمد و کمترین آن برای جرم متمرکز با فاصله 26mm از پایه تیر حاصل شد.

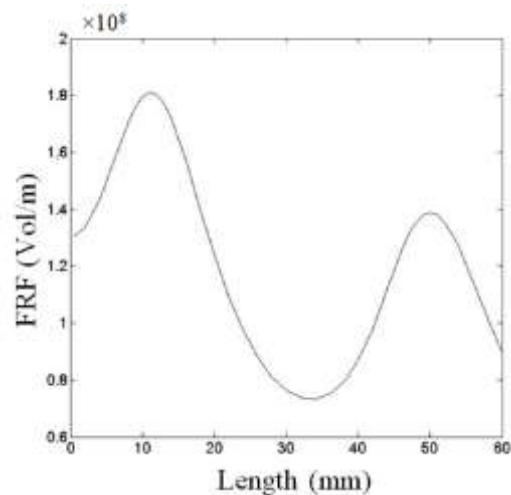
پس از آن نسبت ولتاژ خروجی بر شتاب پایه برای قرارگیری جرم متمرکز در فواصل مختلف مورد بررسی قرار گرفت که بیشترین خروجی در فرکانس تشدید اول برای جرم متمرکز به فاصله 38mm از پایه حاصل شد، اما بیشترین خروجی در فرکانس تشدید دوم برای سیستمی با جرم متمرکز در فاصله 16mm از پایه به دست آمد؛ بنابراین در صورت نیاز به برداشت حداکثر ولتاژ خروجی، فواصل 16mm یا 38mm جرم متمرکز از پایه پیشنهاد گردید.

#### فهرست علائم

B	عرض تیر
C <sub>a</sub>	ضریب میرایی لزج میانگین محیط بر واحد طول



شکل (۹): نسبت ولتاژ خروجی بر جابه جایی پایه در فرکانس تشدید اول بر حسب فاصله جرم متمرکز تا پایه تیر



شکل (۱۰): نسبت ولتاژ خروجی بر جابه جایی پایه در فرکانس تشدید دوم بر حسب فاصله جرم متمرکز تا پایه تیر

#### ۴- نتیجه گیری

در این پژوهش روش سختی دينامیکی برای تير یکسر درگیر با مقطع یکنواخت به همراه جرم متمرکز توسعه داده شد. این روش بر مبنای حل دقیق تدوین گردیده است. از رویکرد نیوتن برای حصول روابط استفاده شد که طی آن دامنه ولتاژ خروجی تابعی از شیب ابتدا و انتهای تیر به دست آمد و حصول این دو پارامتر با کمک ماتریس سختی دينامیکی تیر صورت گرفت. همچنین

ممان اینرسی جرم متمرکز	$I_T$	ضرب میرایی کلومین ویت لایه میانی	$c_s$
طول تیر	$L$	ضرب میرایی کلومین ویت لایه	$c_p$
جرم واحد طول	$M$	پیزوالکتریک	
جرم تیر	$m_b$	ظرفیت داخلی یک لایه پیزوالکتریک	$C_p$
جرم متمرکز	$M_T$	مؤلفه‌های ماتریس ضرب پیزوالکتریسته	$d_{im}$
مؤلفه‌های بردار کرنش	$S_j$	ماتریس سختی دینامیکی تیر با جرم	$D$
مؤلفه‌های ماتریس ضرایب الاستیک	$S_{jm}^E$	متمرکز	
مؤلفه‌های بردار تنش	$T_m$	ماتریس سختی دینامیکی تیر بدون جرم	$D_e$
دامنه جابه‌جایی در راستای $y$	$\tilde{u}$	متمرکز	
جابجایی پایه	$u_b$	مؤلفه‌های بردار جابه‌جایی الکتریکی	$D_i$
ولتاژ کل مجموعه مستقل از نوع اتصال	$v(t)$	ضخامت لایه میانی	$h_s$
دامنه ولتاژ کل مجموعه	$\tilde{v}$	ضخامت هر لایه پیزوالکتریک	$h_p$
مدول الاستیسیته ماده پیزوالکتریک	$Y_p$	فاصله محور خنثی تا مقطع میانی لایه	$h_{pc}$
مدول الاستیسیته لایه میانی	$Y_s$	پیزوالکتریک	
مؤلفه‌های ماتریس ثابت دی‌الکتریک در تنش ثابت	$\epsilon_{in}^T$	دامنه شدت جریان	$\tilde{I}$
گذردهی در کرنش ثابت	$\epsilon_{33}^S$	گشتاور دوم سطح حول محور خنثی برای لایه‌های پیزوالکتریک	$I_p$
فرکانس تحریک	$\omega$	گشتاور دوم سطح حول محور خنثی برای لایه میانی	$I_s$
فرکانس طبیعی تیر در مود $r$	$\omega_r$		

## مراجع

1. Hamilton, MC., "Recent advances in energy harvesting technology and techniques", *IECON 2012 - 38th Annual Conference on IEEE Industrial Electronics Society. Montreal, QC*, pp. 6297-6304, (2012).
2. Kim, H. and Kim, JH., "Review of piezoelectric energy harvesting based on vibration", *International Journal of Precision Engineering and Manufacturing*, Vol. 12, No.6, pp. 1129-1141, (2011).
3. Buren, V. and Worn, B. "Inertial electromagnetic micro-generators" , *Ph.D. dissertation ETH 16466, Swiss Federal Institute of Technology*, (2006).
4. JoonKim, K. and Cottone, F. "Energy scavenging for energy efficiency in networks and applications", *Bell Labs Technical Journal*, Vol. 15, No.2, pp. 7-29, (2010).
5. Roundy, S. and Wright, P. Rabaey, J. "A Study of low level vibrations as a power source for wireless sensor nodes", *Comput Commun*, Vol. 26, No.1, pp. 1131-1144, (2003).
6. Erturk, A. and Inman DJ. "On mechanical modeling of cantilevered piezoelectric vibration energy harvesters. *J. Intell, Mater. Syst. Struct*, Vol. 19, No.1, pp.1311-1325, (2008).
7. Ratazzi, AR. and Bambill, DV. Rossit, CA. "Free vibrations of beam system structures with elastic

- boundary conditions and an internal elastic hinge", *Chinese Journal of Engineering*, Vol. 89, No.1, pp. 556–568, (2013).
8. Su, H. and Banerjee, JR "Development of dynamic stiffness method for free vibration of functionally graded timoshenko beams", *Computers and Structures*, Vol. 147, No.1, pp. 107–116, (2015).
  9. Jabbari, M. and Ghayour, M. Mirdamadi, HR. "Energy harvesting of a multilayer piezoelectric beam in resonance and off-resonance cases", *Journal of Engineering Materials and Technology*, Vol. 139, No.3, pp. 031008, (2017).
  10. Jabbari, M. and Ghayour, M. Mirdamadi, HR. "Experimental and numerical results of dynamics behavior of a nonlinear piezoelectric beam", *Mechanics of Advanced Materials and Structures*, Vol. 23, No.8, pp. 853-864, (2017).
  11. Jabbari, M. "The Effect of strain nodes on the energy harvesting of the cantilever piezoelectric beam with the vibration mode excitation" *Modares Mechanical Engineering*, Vol. 17, No.10, pp. 65-72, (2017).
  12. Chen, H. and Wang, J. Chen, C. Liu, S. Chen, H. "Dynamic modeling and characteristic analysis of cantilever piezoelectric bimorph", *Mathematical Problems in Engineering*, Volume. 2019, Article ID 3926906, p. 9 (2019).
  13. Ding, H. and Zhu, M. Chen, L. "Dynamic stiffness method for free vibration of an axially moving beam with generalized boundary conditions", *Applied Mathematics and Mechanics*, Vol. 40, pp. 911–924, (2016).
  14. Ballas, R. "Piezo electric multilayer beam bending actuators". Springer, *Verlag Berlin Heidelberg*, (2007).
  15. Bonello, P. and Rafique, SJ. "Modeling and analysis of piezoelectric energy harvesting beams using the dynamic stiffness and analytical modal analysis methods", *ASME J. Vibr.* Vol. 133, No.1, 011009, (2011).

